

# Высокочастотные свойства $\text{KNiPO}_4$ в переменных магнитных и электрических полях

© В.В. Лесковец, М.И. Куркин, В.В. Николаев, Е.А. Туров

Институт физики металлов Уральского отделения Российской академии наук,  
620219 Екатеринбург, Россия

E-mail: leskovez@imp.uran.ru,  
turov@imp.uran.ru

(Поступила в Редакцию 1 октября 2001 г.)

Для кристалла  $\text{KNiPO}_4$ , обладающего спонтанной электрической поляризацией и антиферромагнитным порядком, вычислены зависимости частот АФМР от постоянных магнитного  $\mathbf{H}$  и электрического  $\mathbf{E}$  полей. Показано, что влияние поля  $\mathbf{E}$  на эти частоты может испытывать обменное усиление, которое отсутствует в других, исследовавшихся ранее, магнитоэлектрических веществах. Установлено, что на частотах АФМР резонансный отклик испытывают колебания не только намагниченности, но и электрической поляризации. Приведены выражения для этих откликов в переменных магнитных и электрических полях.

Работа выполнена при финансовой поддержке Российского фонда фундаментальных исследований (проект № 99-02-16268).

Наш интерес к соединению  $\text{KNiPO}_4$  обусловлен двумя его особенностями [1,2]. Во-первых, оно принадлежит к классу веществ без центра симметрии, с чем связано формирование спонтанной электрической поляризации  $\mathbf{P}$ . Во-вторых, в  $\text{KNiPO}_4$  входят магнитные атомы переходного элемента Ni, что обуславливает существование антиферромагнитного упорядочения с температурой Нееля  $T_N \approx 25$  К. Взаимодействие  $\mathbf{P}$  и вектора антиферромагнетизма  $\mathbf{L}$  между собой и с упругими деформациями (благодаря пьезоэлектрическому эффекту и магнитострикции) обещает большое разнообразие магнитных, электрических и акустических свойств данного соединения.

Симметрия орторомбического кристалла  $\text{KNiPO}_4$  описывается пространственной группой  $Pna2_1$  с выделенной винтовой осью  $2_1$ , вдоль которой ориентирован вектор  $\mathbf{P}$ . На элементарную ячейку кристалла приходится четыре иона  $\text{Ni}^{2+}$ , занимающих четырехкратную позицию  $4a$  [3,4], поэтому магнитная структура этого соединения описывается, вообще говоря, с помощью четырех магнитных подрешеток. Соответствующий симметричный анализ возможных обменных магнитных

структур проведен в работе [3] (см. также [4]). Оказалось, что из-за низкой симметрии кристалла магнитная часть термодинамического потенциала содержит около 50 различных инвариантов. Их число можно сократить, если ограничиться только той обменной структурой, которая реализуется в этом веществе согласно имеющимся экспериментальным данным [1,2]. Для ее описания достаточно двухподрешеточной модели с векторами  $\mathbf{M}_1$  и  $\mathbf{M}_2$ . К подрешетке I относятся ионы  $\text{Ni}^{2+}$  с номерами 1 и 4, к подрешетке II — с номерами 2 и 3 (рис. 1). Вместо векторов  $\mathbf{M}_1$  и  $\mathbf{M}_2$  удобнее использовать их линейные комбинации: вектор антиферромагнетизма

$$\mathbf{L} = \mathbf{M}_1 - \mathbf{M}_2 \quad (1)$$

и вектор ферромагнетизма

$$\mathbf{M} = \mathbf{M}_1 + \mathbf{M}_2. \quad (2)$$

В этой модели часть термодинамического потенциала  $\text{KNiPO}_4$ , зависящая от компонент векторов  $\mathbf{M}$ ,  $\mathbf{L}$  и  $\mathbf{P}$ , имеет уже вполне обозримый вид [3,4]

$$\begin{aligned} F = & \frac{1}{2} \chi_{\perp}^{-1} M^2 + \frac{1}{8M_0^2} (\chi_{\parallel}^{-1} - \chi_{\perp}^{-1}) (\mathbf{M}\mathbf{L})^2 + \frac{1}{2} K_{yy} L_y^2 \\ & + \frac{1}{2} K_{zz} L_z^2 - D_{yz} M_y L_z - D_{zy} M_z L_y - (\mathbf{M}\mathbf{H}) \\ & - \frac{1}{2M_0} (d_{xxy} P_x M_x L_y + d_{xyx} P_x M_y L_x \\ & + d_{yxx} P_y M_x L_x + d_{yyx} P_y M_y L_y + d_{yzz} P_y M_z L_z \\ & + d_{zyz} P_z M_y L_z + d_{zzy} P_z M_z L_y) - \frac{1}{2M_0} (k_{xxz} P_x L_x L_z \\ & + k_{yyz} P_y L_y L_z + k_{zyy} P_z L_y^2 + k_{zzz} P_z L_z^2) \\ & + \frac{1}{2} \kappa^{-1} (P_x^2 + P_y^2) - (\mathbf{P}\mathbf{E}). \end{aligned} \quad (3)$$

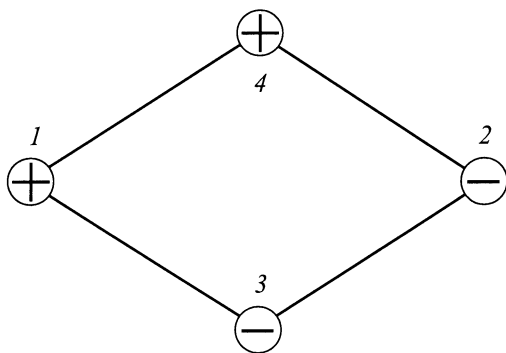


Рис. 1. Обменная магнитная структура  $\text{KNiPO}_4$ : „плюс“ и „минус“ относятся к разным подрешеткам,  $\mathbf{M}_1 \uparrow \downarrow \mathbf{M}_2$ .

Формула (3) записана в системе координат, в которой оси  $\mathbf{X}$ ,  $\mathbf{Y}$ ,  $\mathbf{Z}$  выбраны вдоль трех выделенных осей

кристалла:  $\mathbf{Z} \parallel 2_1$  ( $2_1$  — винтовая ось второго порядка),  $\mathbf{X} \perp m_x$ ,  $\mathbf{Y} \perp m_y$  ( $m_x$  и  $m_y$  — две взаимно перпендикулярные зеркальные плоскости);  $\chi_{\perp}$  и  $\chi_{\parallel}$  — магнитные восприимчивости в магнитном поле  $\mathbf{H} \perp \mathbf{L}$  и  $\mathbf{H} \parallel \mathbf{L}$  соответственно,  $K_{yy}$  и  $K_{zz}$  — константы анизотропии,  $D_{yz}$  и  $D_{zy}$  — константы слабого ферромагнетизма,  $d_{\alpha\beta\gamma}$  — константы магнитоэлектрического эффекта,  $k_{\alpha\beta\gamma}$  — антиферроэлектрические константы,  $\kappa$  — поляризуемость кристалла в эквивалентных направлениях  $\mathbf{X}$  и  $\mathbf{Y}$ ,  $M_0$  — номинальная намагниченность каждой подрешетки. Полагается, что поляризованность вдоль оси  $\mathbf{Z}$  остается равной своей спонтанной величине.

Формула (3) по сравнению с выражениями для  $F$  других двухподрешеточных антиферромагнетиков имеет две особенности. Первая особенность — одновременное присутствие инвариантов, ответственных за слабый ферромагнетизм (члены с  $D_{yz}$  и  $D_{zy}$ ) и за магнитоэлектрический эффект (члены с  $d_{\alpha\beta\gamma}$ ). В кристаллах с центром инверсии эти эффекты несовместимы. Вторая особенность (3) связана со слагаемыми, содержащими только компоненты векторов  $\mathbf{P}$  и  $\mathbf{L}$  (инварианты с  $k_{\alpha\beta\gamma}$ ). Они описывают взаимное влияние этих векторов друг на друга без участия вектора  $\mathbf{M}$  (произведение  $k_{\alpha\beta\gamma}P_{\alpha} = \delta K_{\beta\gamma}$  можно рассматривать как поправку к тензору констант анизотропии  $K_{\beta\gamma}$ , ответственному за ориентацию  $\mathbf{L}$ , а  $k_{\alpha\beta\gamma}L_{\beta}L_{\gamma} = \delta E_{\alpha}$  — поправка к электрическому полю  $\mathbf{E}$ , ответственному за изменение  $\mathbf{P}$ ).

Влияние слагаемых с  $d_{\alpha\beta\gamma}$  и  $k_{\alpha\beta\gamma}$  в (3) на магнитостатику и электростатику  $\text{KNiPO}_4$  анализировалось в [3,4]. В частности, там в предположении постоянства  $|\mathbf{L}|$  было показано, что при

$$k_{xxz}^2 \kappa > (K_{zz} - D_{yz}^2 \chi_{\perp}) \quad (4)$$

в равновесном состоянии вектор  $\mathbf{L}$  спонтанно (при  $\mathbf{H} = 0$ ) отклоняется от оси  $\mathbf{X}$  на некоторый угол  $(\frac{\pi}{2} - \Theta_L)$  (рис. 2). Такое отклонение вектора  $\mathbf{L}$  от оси  $\mathbf{X}$  сопровождается появлением как слабоферромагнитного момента

$$M_y = \chi_{\perp} D_{yz} L \sin \Theta_L, \quad (5)$$

так и магнитоэлектрической поляризованности

$$P_x = \alpha_{xy} H_y, \quad \alpha_{xy} = \chi_{\perp} d_{xyx} \cos \Theta_L. \quad (6)$$

Однако, как следует из экспериментальных данных [1,2], в  $\text{KNiPO}_4$  вместо (4) выполняется обратное неравенство, поэтому попытка реализовать экзотическое состояние с сосуществованием слабого ферромагнетизма и магнитоэлектричества при  $\mathbf{H} = 0$  в очередной раз не удалась. Тем не менее необычный вид термодинамического потенциала  $F$  (3) должен проявиться в каких-то специфических свойствах кристалла. Одно из таких проявлений связано с зависимостью угла  $\Theta_L$  от магнитного поля  $\mathbf{H} \parallel \mathbf{Y}$ . Для этой зависимости в [3] получено уравнение

$$2\kappa k_{xxz}^2 \cos^3 \Theta_L + (K_{zz} - D_{yz}^2 \chi_{\perp} - \kappa k_{xxz}^2) \cos \Theta_L = D_{yz} \chi_{\perp} H_y / 2M_0 \quad (7)$$

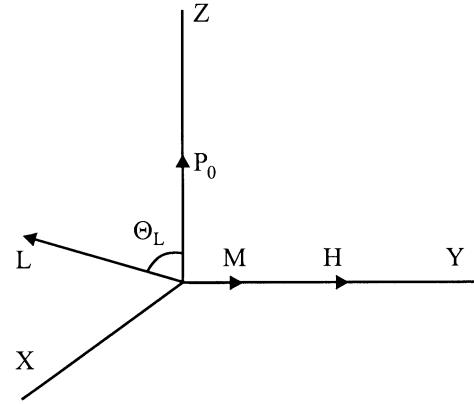


Рис. 2. Поворот вектора  $\mathbf{L}$  в плоскости  $XZ$ , вызываемый полем  $\mathbf{H} \parallel \mathbf{Y}$ .

и вычислены соответствующие компоненты векторов  $\mathbf{M}$  и  $\mathbf{P}$

$$M_y = \chi_{\perp} (H_y + 2M_0 D_{yz} \cos \Theta_L),$$

$$P_x = \kappa (2M_0 k_{xxz} \cos \Theta_L + d_{xyx} M_y) \sin \Theta_L. \quad (8)$$

Взаимосвязь величин  $P_x$ ,  $M_y$  и  $\Theta_L$  означает, что следует ожидать особенностей магнитных и электрических свойств  $\text{KNiPO}_4$  не только в постоянных, но и в переменных полях  $\mathbf{h}(t)$  и  $\mathbf{e}(t)$ , где эти особенности могут усиливаться вблизи резонансных частот колебаний  $\mathbf{L}$  и  $\mathbf{M}$ .

Из уравнения (7), в частности, следует, что решение  $\cos \Theta_L \neq 0$  ( $\Theta_L \neq \pi/2$ ) действительно реализуется лишь при выполнении неравенства (4).

Далее приводятся результаты расчетов спектра частот линейных колебаний  $\mathbf{M}$  и  $\mathbf{L}$  и анализируются возможности их возбуждения переменными полями  $\mathbf{h}(t)$  и  $\mathbf{e}(t)$ . При этом считалось, что собственным колебаниям  $\mathbf{P}$  соответствуют гораздо более высокие частоты, что позволяет воспользоваться квазистатическим приближением

$$P^{\alpha}(t) = \kappa E_{\text{eff}}^{\alpha}(t), \quad (9)$$

где  $\kappa$  — та же электрическая восприимчивость, что и в (3), а

$$E_{\text{eff}}^{\alpha}(t) = -\frac{\partial F}{\partial P^{\alpha}} \quad (10)$$

эффективное электрическое поле, действующее на вектор  $\mathbf{P}$  в образце. Согласно (3), оно определяется внешним полем  $\mathbf{E}$  и параметрами магнитоэлектрического взаимодействия  $d_{\alpha\beta\gamma}$  и  $k_{\alpha\beta\gamma}$ :

$$E_{\text{eff}}^{\alpha}(t) = E^{\alpha}(t) + \sum_{\beta\gamma} d_{\alpha\beta\gamma} M_{\beta} L_{\gamma} + \sum_{\beta\gamma} k_{\alpha\beta\gamma} L_{\beta} L_{\gamma}. \quad (11)$$

Связь между компонентами векторов  $\mathbf{P}$ ,  $\mathbf{E}$ ,  $\mathbf{M}$  и  $\mathbf{L}$ , определяемая формулами (9) и (11), использовалась при решении уравнений движения для  $\mathbf{M}$  (1) и  $\mathbf{L}$  (2).

## 1. Исходные уравнения и их решения

Для описания движения векторов  $\mathbf{M}$  и  $\mathbf{L}$ , соответствующего потенциалу (3), вообще говоря, следовало бы использовать уравнения, предложенные в [5], которые позволяют описать поведение  $\mathbf{M}$  и  $\mathbf{L}$  в моделях с  $(\mathbf{M}\mathbf{L}) \neq 0$  ( $\chi_{\parallel} \neq 0$ ). Для малых отклонений  $\mathbf{M}$  и  $\mathbf{L}$  от равновесных значений  $\mathbf{M}_{\text{eq}}$  и  $\mathbf{L}_{\text{eq}}$

$$\mathbf{m} = \mathbf{M} - \mathbf{M}_{\text{eq}}, \quad \mathbf{l} = \mathbf{L} - \mathbf{L}_{\text{eq}}; \quad (12)$$

эти уравнения имеют вид

$$\begin{aligned} \dot{m} &= \gamma_1 \left[ M_{\text{eq}} \times \frac{\partial F}{\partial \mathbf{m}} \right] + \gamma_2 \left[ L_{\text{eq}} \times \frac{\partial F}{\partial \mathbf{l}} \right], \\ \dot{l} &= \gamma_2 \left[ L_{\text{eq}} \times \frac{\partial F}{\partial \mathbf{m}} \right] + \gamma_3 \left[ M_{\text{eq}} \times \frac{\partial F}{\partial \mathbf{l}} \right], \end{aligned} \quad (13)$$

где  $\gamma_i$  — константы. Однако далее приводятся расчеты в равномодульной модели, в которой сохраняется величина намагниченностей подрешеток, поэтому в уравнениях (13) необходимо положить  $\gamma_1 = \gamma_2 = \gamma_3 \equiv \gamma$ , что соответствует уравнениям Ландау–Лифшица [5,4] ( $\gamma$  — обычное гиромагнитное отношение).

Наиболее интересные результаты уравнения (13) дают при ориентации поля  $\mathbf{H} \parallel \mathbf{Y}$ , а поля  $\mathbf{E} \parallel \mathbf{X}$  или  $\mathbf{E} \parallel \mathbf{Y}$ .

1.1. Частоты и восприимчивости в полях  $\mathbf{H} \parallel \mathbf{Y}$  и  $\mathbf{E} \parallel \mathbf{X}$ . В таких полях собственные частоты колебаний имеют вид

$$\begin{aligned} \omega_1^2 &= \gamma^2 4M_0^2 (\chi_{\perp}^{-1} K_{zz} - D_{yz}^2) \cos^2 \varphi \sin^2 \Theta_L + \Delta\omega_1^2(E_x), \\ \omega_2^2 &= \gamma^2 4M_0^2 ((\chi_{\perp}^{-1} K_{yy} - D_{zy}^2) \cos^2 \varphi \\ &+ (\chi_{\perp}^{-1} \sin \varphi + D_{32} \cos \varphi \cos \Theta_L)^2) + \Delta\omega_2^2(E_x). \end{aligned} \quad (14)$$

Здесь  $\Delta\omega_1^2(E_x)$  и  $\Delta\omega_2^2(E_x)$  — поправки, обусловленные электрическим полем,

$$\begin{aligned} \Delta\omega_1^2(E_x) &= \omega_1^2(H, 0) - \omega_1^2(H, E) \\ &= \gamma^2 H_E \kappa k_{xxz} E_x (2 + \cos^2 \varphi) \cos^2 \varphi \sin 2\Theta_L, \\ \Delta\omega_2^2(E_x) &= \omega_2^2(H, 0) - \omega_2^2(H, E) \\ &= \gamma^2 H_E \kappa k_{xxz} E_x \cos^2 \varphi \sin 2\Theta_L, \end{aligned} \quad (15)$$

$\cos \Theta_L$  — вещественный корень уравнения (7), а угол  $\varphi$  находится из уравнения

$$\sin \varphi = (H_y + 2D_{zy}M_0 \cos \varphi \cos \Theta_L) / 2H_E, \quad (16)$$

где

$$H_E = \chi_{\perp}^{-1} M_0 — \quad (17)$$

обменное поле, ответственное за антиферромагнитное упорядочение.

В (15) учтены только те поправки, которые содержат множитель  $H_E$  (17) и в этом смысле являются обменно-усиленными (см., например, [6]). Обычно в спектре

АФМР обменное усиление испытывают такие воздействия, которым в выражении для  $F$  (3) соответствуют слагаемые, не содержащие компонент вектора  $\mathbf{M}$  (2). В частности, обменное усиление отсутствует для обычного магнитоэлектрического взаимодействия, описываемого в (3) слагаемыми с  $d_{\alpha\beta\gamma}$ , поэтому его вклад в  $\Delta\omega_1^2(E_x)$  и  $\Delta\omega_2^2(E_x)$  не попал в формулы (15). Обменно-усиленный вклад поля  $\mathbf{E}$  в частоту АФМР вносит только антиферроэлектрическое взаимодействие, которого нет в кристаллах с центром симметрии. Обратим также внимание на важный результат, следующий из формулы (15): указанное обменное усиление обращается в нуль при  $\cos \Theta_L$  и  $\sin \Theta_L = 0$ , т.е. в начале и в конце поворота (рис. 2). Первый случай соответствует  $\mathbf{H} = 0$ .

Вторая особенность спектра (14) связана со значением поля

$$H_y = H_{\text{cr}} = 2M_0 \frac{K_{zz}\chi_{\perp}^{-1} + \kappa k_{xxz}\chi_{\perp}^{-1} - D_{23}^2}{D_{23}^2}, \quad (18)$$

которому соответствует значение  $\cos \Theta_L = 1$  и соответственно  $\sin \Theta_L = 0$ . При этом значении (при  $E_x = 0$ ), как уже указывалось выше, заканчивается переориентация вектора  $\mathbf{L}$  от оси  $\mathbf{X}$  к оси  $\mathbf{Z}$  (рис. 2), что соответствует фазовому переходу II рода. Соответствующая ему „мягкая мода“ связана с частотой  $\omega_1^2$ . Однако если учесть влияние поправок за счет поля  $E_x$ , не испытывающих обменного усиления, частота  $\omega_1^2$  при  $H_y = H_{\text{cr}}$  останется конечной

$$\Delta\omega_1^2(E_x, H_{\text{cr}}) = [\gamma\kappa(k_{xxz} \sin \varphi - d_{yxx} \cos \varphi)E_x]^2. \quad (19)$$

Если слагаемые такого типа учесть в уравнении (7), то окажется, что значение  $\cos \Theta_L = 1$  может быть достигнуто только при  $H_y \rightarrow \infty$  (эффект „размывания“ фазового перехода).

Частотам  $\omega_1$  и  $\omega_2$  (14) соответствуют резонансные магнитный  $\mathbf{m}(t) = (\mathbf{M}(t) - \mathbf{M}_{\text{eq}})$  и электрический  $\mathbf{p}(t) = (\mathbf{P}(t) - \mathbf{P}_{\text{eq}})$  отклики на высокочастотные магнитное  $\mathbf{h}(t)$  и электрическое  $\mathbf{e}(t)$  поля

$$\begin{aligned} m_{\alpha}(t) &= \sum_{\beta} (\chi_{\alpha\beta}^m h_{\beta}^{\omega}(t) + \alpha_{\alpha\beta}^m e_{\beta}^{\omega}(t)), \\ p_{\alpha}(t) &= \sum_{\beta} (\alpha_{\alpha\beta}^p h_{\beta}^{\omega}(t) + \kappa_{\alpha\beta} e_{\beta}^{\omega}(t)). \end{aligned} \quad (20)$$

Кроме того, мы посчитали полезным привести выражения для отклика вектора  $\mathbf{L}$  на поля  $\mathbf{h}(t)$  и  $\mathbf{e}(t)$

$$l_{\alpha}(t) = L_{\alpha}(t) - (L_{\text{eq}})_{\alpha} = \sum_{\beta} (\chi_{\alpha\beta}^l h_{\beta}^{\omega}(t) + \alpha_{\alpha\beta}^l e_{\beta}^{\omega}(t)). \quad (21)$$

Заметим, что  $\chi^l$  и  $\alpha^l$  не являются обычными тензорами магнитной и магнитоэлектрической восприимчивости. Они даже имеют другую собственную симметрию, преобразуясь соответственно как произведения  $L_{\alpha}H_{\beta}$  и  $L_{\alpha}E_{\beta}$ .

Существенно отличными от нуля оказались следующие компоненты тензоров  $\chi^m, \chi^l, \alpha^m, \alpha^p, \alpha^l$  и  $\kappa$ :

$$\begin{aligned} \chi_{yy}^m &= \gamma^2 4M_0^2 \frac{K_{zz}}{\omega_1^2 - \omega^2} \cos^2 \varphi \sin^2 \Theta_L, \\ \chi_{zz}^m &= \gamma^2 4M_0^2 \frac{K_{yy} \cos^2 \varphi \sin^2 \Theta_L + \chi_{\perp}^{-1} \sin^2 \varphi}{\omega_2^2 - \omega^2}, \\ \chi_{xz}^m &= (\chi_{zx}^m)^* = -\gamma^2 4M_0^2 \\ &\times \frac{\chi_{\perp}^{-1} K_{yy} \cos^2 \varphi \sin 2\Theta_L + \chi_{\perp}^{-1} (D_{zy} \cos \varphi \sin \Theta_L + i\omega/\gamma 2M_0) \sin \varphi}{\omega_2^2 - \omega^2}, \\ \chi_{zy}^l &= -\gamma^2 4M_0^2 \frac{\chi_{\perp}^{-1} (D_{yz} \cos \varphi \sin \Theta_L + i\omega/\gamma 2M_0)}{\omega_1^2 - \omega^2} \\ &\times \cos \varphi \sin \Theta_L, \\ \chi_{yz}^l &= -\gamma^2 4M_0^2 \\ &\times \frac{\chi_{\perp}^{-1} (D_{zy} \cos \varphi \sin \Theta_L + \chi_{\perp}^{-1} \sin \varphi \cos \Theta_L + i\omega/\gamma 2M_0)}{\omega_2^2 - \omega^2} \\ &\times \cos \varphi \sin \Theta_L, \end{aligned} \quad (22)$$

$$\begin{aligned} \alpha_{xy}^m &= \alpha_{xy}^p = \kappa (k_{xxz} \chi_{zy}^l(\omega) + d_{xyx} \chi_{yy}^m(\omega)) \sin \Theta_L, \\ \alpha_{yz}^m &= \alpha_{yz}^p = \kappa (k_{yyz} \chi_{yz}^l(\omega) + d_{yzz} \chi_{zz}^m(\omega)) \cos \Theta_L, \\ \alpha_{xz}^l &= \kappa \left( d_{xyx} \chi_{zy}^l(\omega) \sin \Theta_L + \chi_{\perp} \right. \\ &\times \left. \frac{\gamma^2 4M_0^2 \chi_{\perp}^{-2} (k_{xxz} \cos 2\Theta_L + d_{xyx} \sin \varphi \cos \Theta_L) \sin \Theta_L}{\omega_1^2 - \omega^2} \right), \\ \alpha_{yy}^l &= \kappa \left( d_{yzz} \chi_{yz}^l(\omega) \cos \Theta_L + \chi_{\perp} \right. \\ &\times \left. \frac{\gamma^2 4M_0^2 \chi_{\perp}^{-2} (k_{yyz} \cos \Theta_L + d_{yyy} \sin \varphi)}{\omega_2^2 - \omega^2} \right), \end{aligned} \quad (23)$$

$$\begin{aligned} \kappa_{xx}(\omega) &= \kappa (1 + (d_{xyx} \alpha_{xy}^m + k_{xxz} \alpha_{xz}^l) \sin \Theta_L), \\ \kappa_{yy}(\omega) &= \kappa (1 + (d_{yzz} \alpha_{yz}^m + k_{yyz} \alpha_{yy}^l) \sin \Theta_L). \end{aligned} \quad (24)$$

1.2. Частоты и восприимчивости в полях  $\mathbf{H} \parallel \mathbf{Y}$  и  $\mathbf{E} \parallel \mathbf{Y}$ . При  $\cos \Theta_L \ll 1$

$$\begin{aligned} \omega_{1,2}^2(H, E) &= \frac{1}{2} \left[ \omega_1^2(H, 0) + \omega_2^2(H, 0) \right. \\ &\left. \pm \sqrt{(\omega_1^2(H, 0) - \omega_2^2(H, 0))^2 + (4H_E \kappa k_{yyz} E_y \cos^2 \varphi \sin \Theta_L)^2} \right]. \end{aligned} \quad (25)$$

Заметим, что в этом случае в отличие от предыдущего ( $\mathbf{E} \parallel \mathbf{X}$ ) обменно-усиленный вклад поля  $\mathbf{E}$  в  $\omega_{1,2}^2$  не равен нулю даже при  $\Theta_L = \frac{\pi}{2}$  (т.е. при  $H_y = 0$ ). Напротив, он исчезает при  $H_y \rightarrow H_{cr}$ .

При  $\sin \Theta_L \ll 1$

$$\begin{aligned} \omega_1^2 &= 2(\kappa k_{yyz} E_y \sin \varphi)^2, \\ \omega_2^2 &= \omega_2^2 - 2(\kappa k_{yyz} E_y \sin \varphi)^2. \end{aligned} \quad (26)$$

Восприимчивости в этом случае практически не отличаются от восприимчивостей в полях  $\mathbf{H} \parallel \mathbf{Y}$  и  $\mathbf{E} \parallel \mathbf{X}$ .

## 2. Обсуждение результатов

Приступая к анализу высокочастотных свойств  $\text{KNiPO}_4$  в переменных магнитных и электрических полях, мы пытались получить ответы на следующие вопросы.

- 1) Насколько заметным может оказаться влияние постоянного электрического поля  $\mathbf{E}$  на частоты АФМР?
- 2) Каков магнитный отклик (т.е. амплитуда колебаний вектора  $\mathbf{M}$ ) на частотах АФМР при возбуждении переменными магнитным  $\mathbf{h}(t)$  и электрическим  $\mathbf{e}(t)$  полями?
- 3) Чем определяется амплитуда резонансных колебаний вектора  $\mathbf{P}$  (т.е. электрический отклик) на частотах АФМР в полях  $\mathbf{h}(t)$  и  $\mathbf{e}(t)$ ?

На первый вопрос обнадеживающий ответ дают формулы (15) и (25), из которых следует, что влияние поля  $\mathbf{E}$  действительно может усиливаться обменом. Для конкретных оценок нужно анализировать, например, отношение

$$\frac{\Delta \omega_1^2(E_x)}{\omega_1^2} \approx 3 \frac{\Delta \omega_2^2(E_x)}{\omega_2^2} \approx 3 \frac{\kappa k_{xxz} E_x}{2M_0 K_{zz}} \text{ctg} \Theta_L. \quad (27)$$

Комбинация параметров  $\kappa k_{xxz} E_x$ , как вытекает из (3), имеет смысл поля анизотропии, наведенного за счет  $E_x$  в направлении биссектрисы одного из углов, образованных осями  $\mathbf{X}$  и  $\mathbf{Z}$ . Кроме того, вблизи критического поля  $H_y \approx H_{cr}$ , когда  $\sin \Theta_L \ll 1$ , малость  $\kappa k_{xxz} E_x$  по сравнению с  $2M_0 K_{zz}$  частично компенсируется большой величиной  $\text{ctg} \Theta_L$ , что усиливает влияние  $E_x$  на частоты АФМР  $\omega_1$  и  $\omega_2$ .

Представляется, что было бы крайне целесообразно исследовать экспериментально сдвиг частот АФМР, обусловленный электрическим полем  $\mathbf{E}$ , в условиях спин-переориентационного перехода. Дело в том, что в обычных условиях такой сдвиг относительно ширины линии АФМР мал и его наблюдение весьма трудная задача (см., например, результаты опытов на  $\text{Cr}_2\text{O}_3$  [7–9]). При этом, однако, надо иметь в виду, что абсолютное значение обменно-усиленного  $\Delta \omega(E)$  вблизи  $H_{cr}$  уменьшается вместе с  $\sin \Theta_L$ .

К числу наиболее важных выводов теории можно отнести также следующее. Существование и проявление обменно-усиленного вклада  $\Delta \omega(E)$  в частоту АФМР в значительной степени определяется направлением электрического поля.

Например, при  $\mathbf{E} \parallel \mathbf{X}$  указанный вклад возникает только при наличии  $H_y \neq 0$ . При этом, возрастая от

нулевого значения (при  $H_y = 0$ ),  $\Delta\omega(E)$  с увеличением  $H_y$  проходит через максимум и затем идет к нулю при  $H_y \geq H_{cr}$  (более точно, при  $H_y \rightarrow \infty$ ).

В то же время при  $\mathbf{E} \parallel \mathbf{Y}$  величина  $\Delta\omega(E) \neq 0$  даже при  $H_y = 0$ , но она снова исчезает, если не учитывать не усиленный обмен вклад (26) при  $H_y \geq H_{cr}$ .

Ответ на второй вопрос дают формулы (22) и (23). Магнитный отклик  $\mathbf{m}(t)$  на переменное магнитное поле  $\mathbf{h}(t)$  описывается компонентами  $\chi_{\alpha\beta}^m(\omega)$  (22). Они не содержат ничего нового по сравнению с обычными выражениями для высокочастотной магнитной восприимчивости двухподрешеточных антиферромагнетиков [10].

Формулы (23) описывают магнитный отклик  $\mathbf{m}(t)$  на переменное электрическое поле  $\mathbf{e}(t)$  и электрический отклик  $\mathbf{p}(t)$  на  $\mathbf{h}(t)$ . Максимальную величину имеет компонента  $\alpha_{xy}^m$ , обладающая особенностью только на частоте АФМР  $\omega_1$

$$\alpha_{xy}^m = \alpha_{yx}^p \approx \frac{i\gamma\chi_{\perp}H_E\kappa k_{xxz}}{\omega_1 - \omega} \approx i\chi_{yy}^m(\omega)\kappa k_{xxz} \sqrt{\frac{H_E}{H_A^z}}, \quad (28)$$

где  $H_A^{\alpha} = 2M_0K_{\alpha\alpha}$  — так называемое поле анизотропии в направлении  $\alpha$ . По сравнению с  $\chi_{yy}^m(\omega)$  она содержит кроме малого параметра  $k_{xxz}$  также множитель  $\sqrt{H_E/H_A^z} \gg 1$ , что увеличивает шанс обнаружить этот сигнал экспериментально. Следует также обратить внимание, что эффект ожидается максимальным в слабых полях  $H_y \ll H_{cr}$ , когда  $\sin\Theta_L \approx 1$ .

Наконец, формулы (24) описывают резонансный на частотах АФМР  $\omega_1$  и  $\omega_2$  электрический отклик  $\mathbf{p}(t)$  на поле  $\mathbf{e}(t)$ . При малых  $H_y$  ( $H_y \ll H_{cr}$ ), когда  $\sin\Theta_L \approx 1$ , максимальная компонента  $\kappa_{xx}(\omega)$ , имеющая особенность на частоте  $\omega_1$ ,

$$\kappa_{xx}(\omega) = -\frac{2\gamma\chi_{\perp}H_E(\kappa k_{xxz})^2}{\omega_1 - \omega}. \quad (29)$$

Вблизи критического значения  $H_y \approx H_{cr}$ , когда  $\cos\Theta_L \approx 1$ , максимальная компонента

$$\kappa_{yy}(\omega) = \frac{2\gamma\chi_{\perp}H_E(\kappa k_{yyz})^2}{\omega_2 - \omega}, \quad (30)$$

имеет резонансную особенность на частоте  $\omega_2$ .

По сравнению с  $\alpha_{xy}^m(\omega)$  (28) компонента  $\kappa_{xx}(\omega)$  (29) имеет лишнюю степень малого параметра  $k_{xxz}$ . Но эта малость может частично компенсироваться тем, что в случае  $\mathbf{p}(t)$  регистрируется более сильная электрическая часть электромагнитного отклика, а не магнитная, как в случае колебаний  $\mathbf{m}(t)$ .

Приведенные выше результаты позволяют сделать следующие выводы.

1) Следует ожидать, что на частотах АФМР  $\omega_1$  и  $\omega_2$  резонансные особенности имеют место не только для высокочастотных магнитных свойств  $\text{KNiPO}_4$ , но и для высокочастотных электрических свойств этого соединения.

2) Оба типа резонансных сигналов (магнитный и электрический) могут возбуждаться как переменным магнитным  $\mathbf{h}(t)$ , так и переменным электрическим  $\mathbf{e}(t)$  полем.

3) Имеет место эффект обменного усиления влияния электрического поля  $E_x$  на частоты АФМР.

4) Максимального сдвига частот АФМР в поле  $E_x$  следует ожидать вблизи критического значения магнитного поля  $H_y \approx H_{cr} \approx 10^5$  Ое.

## Список литературы

- [1] F. Fisher, M. Lujan, F. Kubel, H. Schmid. *Ferroelectrics* **162**, 37 (1994).
- [2] M. Lujan, J.-P. Rivera, S. Kizhaev et al. *Ferroelectrics* **161**, 77 (1994).
- [3] Е.А. Туров. *ЖЭТФ* **110**, 220 (1996).
- [4] Е.А. Туров, А.В. Колчанов, В.В. Меньшенин, И.Ф. Мирсаев, В.В. Николаев. Симметрия и физические свойства антиферромагнетиков. Физматлит, М. (2001).
- [5] Ю.М. Гуфан. *ЖЭТФ* **60**, 1537 (1971).
- [6] Е.А. Туров. *УФН* **164**, 325 (1994).
- [7] E. Kita, K. Siratori, A. Tasaki. *J. Phys. Soc. Japan* **46**, 1033 (1979).
- [8] E. Kita, A. Tasaki, K. Siratori. *J. Appl. Phys. Japan* **18**, 1361 (1979).
- [9] E. Kita, K. Siratori, A. Tasaki. *J. Appl. Phys. Japan* **50** (part II), 7748 (1979).
- [10] А.И. Ахизер, В.Г. Барьяхтар, С.В. Пелетминский. Спиновые волны. Наука, М. (1967).